

**ИЗМЕРЕНИЕ РАСПРЕДЕЛЕНИЯ
ПЛОТНОСТИ РАЗРЕЖЕННОГО ГАЗА
С ПОМОЩЬЮ ЭЛЕКТРОННОГО ПУЧКА
И МЕТОДОВ ВЫЧИСЛИТЕЛЬНОЙ ТОМОГРАФИИ**

УДК 533.6.07

В. Г. Приходько, А. И. Седельников, С. Н. Ульянкин,
В. Н. Ярыгин

Институт теплофизики СО РАН,
630090 Новосибирск

Введение. При исследовании сложных газодинамических объектов возникает необходимость иметь представление о структуре потока в целом. Для этого применяются различные методы: теневая фотография, спеклфотография, интерферометрия (в том числе и голограммическая), визуализация газовым разрядом и электронным пучком [1–4]. В последние годы стали появляться работы, в которых для анализа геометрии и характеристик течения предлагаются томографические методики [5–7].

Для исследования течений разреженного газа оптические методы недостаточно чувствительны, здесь наиболее подходящим методом считается электронно-пучковый. Определение структуры всего потока с помощью пучка электронов — довольно трудоемкая задача. Необходимо сфотографировать возникающее оптическое излучение, затем провести денситометрическую обработку полученных негативов с учетом свойств фотоматериала. Если численная плотность газа $n < 3 \cdot 10^{13} \text{ см}^{-3}$, возбужденное электронами излучение становится слабым даже для ярко светящихся газов (азота и гелия), и измерение плотности этим методом становится невозможным.

В то же время существует способ измерения плотности по ослаблению электронного пучка, прошедшего через наблюдаемый объем, который сохраняет чувствительность в более разреженном газе. Это интегральный метод, и для восстановления распределения плотности необходимо применять преобразование Абеля, что возможно лишь в осесимметричном потоке. Если же для восстановления плотности воспользоваться методами реконструктивной томографии, то можно определить структуру потока с произвольной конфигурацией.

В данной работе предлагается метод определения полей плотности в трехмерных потоках разреженного газа, который основывается на результатах измерений зависимости ослабления электронного пучка от его положения и ориентации относительно потока. Для восстановления распределения плотности в пространстве используется один из методов реконструктивной томографии для параллельного пучка — алгоритм свертки с фильтром и обратного проецирования (в частности, его версия с применением быстрого преобразования Фурье). В качестве примера приводятся результаты, которые показывают структуру течения в области взаимодействия двух струй, истекающих из одинаково направленных сопел.

Экспериментальная установка. Проверочные эксперименты проведены на газодинамической установке низкой плотности, схема рабочей камеры которой показана на рис. 1. Источник потока газа — компоновка из двух сопел, одинаково направленных, с

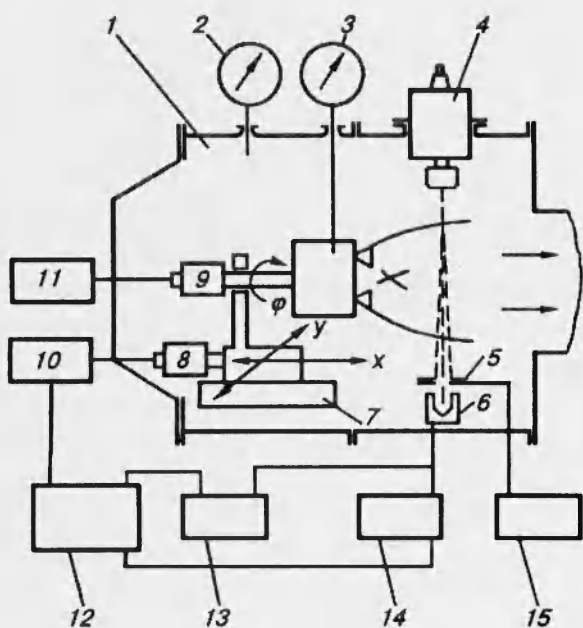


Рис. 1

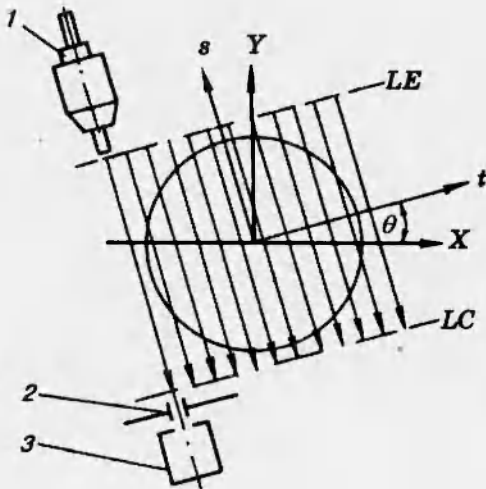


Рис. 2

общей форкамерой. Использовались конические сходящиеся сопла с диаметром критического сечения 2 мм. Расстояние между центрами сопел 51,5 мм. Источник размещался на трехкомпонентном координатном механизме 7, который позволял перемещать исследуемый объект относительно электронного пучка вдоль (ось X) и поперек (ось Y) потока и поворачивать на угол θ вокруг оси, проходящей посередине между соплами параллельно оси X . Трехэлектродная электронная пушка 4 создавала узкий электронный пучок диаметром 1 мм, с энергией 15 кВ и током до 10 мА. Перед началом экспериментов рабочая камера 1 откачивалась до давления 0,01 Па, при котором электроны практически не рассеивались, пересекая камеру, и размеры поперечного сечения пучка не менялись. С помощью отклоняющих катушек электронный пучок направлялся в коллектор электронов 6 — медный, охлаждаемый излучением цилиндр Фарадея, перед которым размещалась диафрагма 5 для ограничения апертуры пучка. Диаметр диафрагмы 2 мм, расстояние между диафрагмой и выходом электронной пушки 500 мм. На диафрагму подавался небольшой ($10 \div 20$ В) отрицательный потенциал от источника питания 15, чтобы уменьшить влияние вторичных электронов, возникающих при неупругих столкновениях первичных электронов пучка с молекулами газа.

При подаче расхода газа часть электронов пучка, сталкиваясь с молекулами газа, отклонялась от первоначального направления и в результате не попадала в отверстие диафрагмы. Ослабленный электронный пучок, прошедший через диафрагму, измерялся миллиамперметром 14, включенным в цепь коллектора, сигнал регистрировался системой сбора информации на ЭВМ СМ-1420 12 и выводился на графопостроитель 13.

Во время экспериментов измерялись следующие параметры: давление торможения (образцовым вакуумметром 3), давление в рабочей камере (термопарным вакуумметром 2), ток эмиссии i_e и коллектора i_c . Значения координат x , y и угол поворота θ измерялись с помощью сельсин-датчиков типа БС-155 8, 9, блоков индикации Ф-5095 10, 11 и регистрировались ЭВМ. На выбранном фиксированном расстоянии от сопел $x_s = 10 \div 60$ мм

записывались поперечные профили тока коллектора $i_c = f_i(y)$ для дискретного ряда значений угла θ . Для проверочных экспериментов область определения $y = \pm 70$ мм. Угол θ менялся от 0 до π , регистрировались 20 профилей. После пересчета полученные профили рассматривались как набор проекций для вычислительного алгоритма восстановления пространственного распределения плотности.

Алгоритм. Исследуемый объект — сложное течение с распределением плотности $n = f(x, y)$ в фиксированной прямоугольной системе координат X, Y . Эта измерительная система координат связана с подвижной прямоугольной системой координат s, t , которая повернута на угол θ относительно системы X, Y , как показано на рис. 2. Подвижная система включает в себя электронный пучок с эмиттером 1 на линии LE с координатой $t = t_e$ и диафрагму 2 с коллектором электронов 3 на линии LC в координате $t = t_c$ ($t_c - t_e = \text{const}$). Когда эмиттер сдвигается вдоль линии LE , коллектор синхронно сдвигается вдоль LC . Ток эмиттера i_e постоянен вдоль LE , а ток коллектора i_c зависит от s и угла θ [8]:

$$i_c(s, \theta) = i_e \exp(-\mu \int_{t_e}^{t_c} f_\theta(s, t) dt).$$

Здесь $f_\theta(s, t)$ — численная плотность газа в координатах s, t ; μ — коэффициент ослабления электронного пучка. Профили $i_c(s, \theta)$ регистрируются в экспериментах.

Величина $p(s, \theta) = -1/\mu \ln(i_c(s, \theta)/i_e)$ является проекцией поля плотности газа на LC и определяется как

$$p(s, \theta) = \int_{t_e}^{t_c} f_\theta(s, t) dt.$$

Восстановить функцию $f(x, y)$ по набору экспериментальных данных $p(s, \theta)$ можно с помощью методов вычислительной томографии. В данном случае для решения использовался алгоритм фильтрации и обратного проецирования [9]. Согласно теореме о центральном сечении, имеем

$$f(x, y) = \int_0^\pi \int_{-\infty}^{\infty} \hat{p}(R, \theta) \exp(i2\pi R(x \cos(\theta) + y \sin(\theta))) |R| dR d\theta,$$

где $\hat{p}(R, \theta)$ — одномерное преобразование Фурье функции $p(s, \theta)$ по первому аргументу. Для построения функции $f_b(x, y)$, служащей аппроксимацией функции $f(x, y)$ с ограниченной шириной спектра, необходимо ввести функцию окна $W(R)$ в частотной области. В результате получим

$$f_b(x, y) = \int_0^\pi \int_{-1}^{+1} p(s, \theta) q(x \cos(\theta) + y \sin(\theta) - s) ds d\theta, \quad q(s) = \int_{-1/2\Delta s}^{+1/2\Delta s} |R| W(R) \exp(i2\pi R s) dR.$$

Эти выражения составляют основу метода, известного под названием метода свертки и обратного проецирования [9] или обратного проецирования фильтрованных проекций [5]. Для вычисления свертки функций p и q применялся алгоритм быстрого преобразования Фурье [10]. В качестве фильтрующей использовалась функция

$$q(s) = 2(k\pi)^2 [\text{sinc}(2ks) - \text{sinc}^2(ks)].$$

Здесь $\text{sinc}(x) = \sin(\pi x)/\pi x$; $k = 2\pi^2 \alpha / \Delta s$; Δs — интервал дискретизации переменной s ;

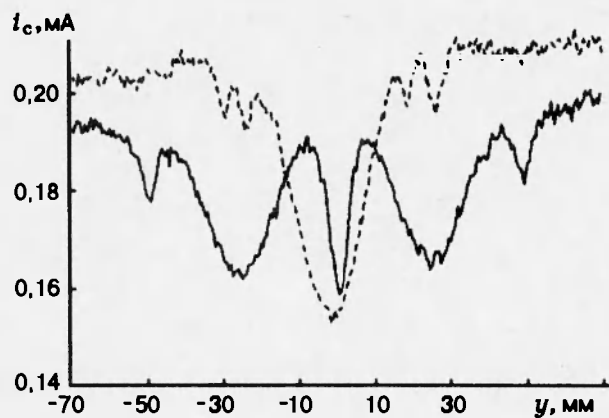


Рис. 3

α — подбираемый коэффициент (при $\alpha = 1/4\pi$ функция $q(s)$ превращается в фильтрующую с косинусной функцией окна $W(R)$ [11]).

Результаты измерений, показывающие возможности предлагаемой методики, приведены на рис. 3–5. Экспериментальные условия были следующими: давление торможения $p_0 = 4 \cdot 10^4$ Па, давление в рабочей камере $p_c = 13$ Па, температура торможения $T_0 = 300$ К. Число Рейнольдса, рассчитанное по параметрам торможения и диаметру критического сечения сопла, $Re_0 = 1,8 \cdot 10^4$, число Рейнольдса, рассчитанное по длине струи, $Re_L = Re_0 / \sqrt{p_0/p_c} = 320$.

На рис. 3 представлен образец поперечных профилей тока коллектора i_c , регистрируемых в экспериментах. Сплошная линия отвечает $\theta = 0$, пунктирная — $\theta = \pi/2$. Запись значений тока проводилась через 0,5 мм. Время записи одного профиля в данном случае примерно 2 мин, оно зависит от возможностей координатного механизма и регистрирующей аппаратуры. Для проверки работоспособности методики профили тока закладывались в расчет без какой-либо предварительной обработки — сглаживания, учета изменения тока эмиссии и т. п., а за величину i_e принимался ток эмиссии катода в электронной пушке. Измеренные величины i_c/i_e логарифмировались и интерполировались на равномерной сетке величин s_i , и получался набор проекций. По этим проекциям восстанавливалось изображение — функция $f_b(x, y)$ для значений x и y , лежащих внутри круга с радиусом 70 мм, в точках s_i определялась свертка функций $p(s, \theta)$ и $q(s)$, и проводилось интегрирование по углу θ . В расчетах не учитывались коэффициент ослабления тока пучка и рассеяние электронов на фоновом газе, коэффициент α принимался равным единице.

Полученные результаты приведены на рис. 4, а, б, где изображены линии равной плотности соответственно в сечении $x_s = 20$ и 50 мм. Несмотря на то что из-за шума и погрешностей в измерениях i_c получившиеся линии не очень гладкие, они достаточно хорошо воспроизводят структуру потока. На рис. 4, а видно, как в центре потока появляется область сжатого слоя, и показана его геометрия. Плотность в потоке уменьшается при увеличении расстояния до среза сопел и становится меньше плотности газа в окружающем пространстве, что иллюстрирует рис. 4, б, где можно наблюдать также появление двух дополнительных зон с увеличенной плотностью в области $y = 0$, $z = -31$ мм и $y = 0$, $z = 29$ мм.

На рис. 5 представлены восстановленные поперечные профили нормированной плотности $n(y) = (f_b(x_s, y) - f_{\min}(x_s)) / (f_{\max}(x_s) - f_{\min}(x_s))$ вдоль линии $z = 0$, проходящей через

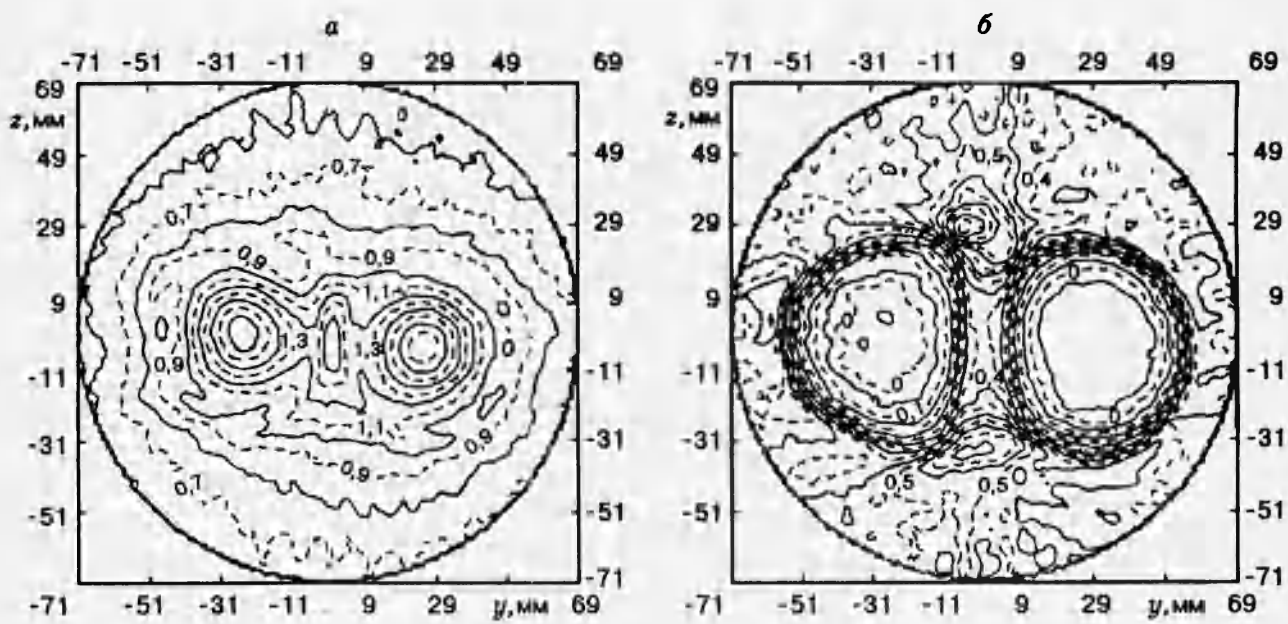


Рис. 4

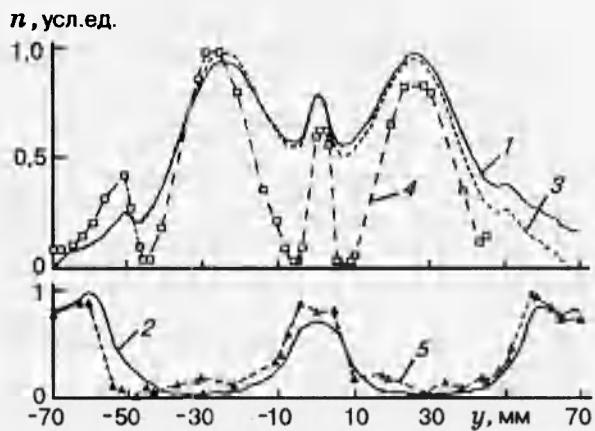


Рис. 5

центры сопел. Индексы min и max обозначают минимум и максимум функции $f_{\text{в}}(x_s, y)$. Кривые 1 и 2 отвечают $x_s = 20$ и 50 мм. Заметно, что на этих профилях нет высокочастотной составляющей шума измерений, отфильтрованной при восстановлении изображения. Медленное изменение тока пучка во время записи (на рис. 3 видно, что в начале и в конце профилей значения тока коллектора несколько отличаются) приводит к изменению в профилях плотности, что в принципе можно учесть введением поправок (кривая 3).

Так как истинное распределение плотности в этом потоке заранее не известно, оценить достоверность результатов можно, сравнив их с результатами измерений плотности другим (уже известным) методом. На рис. 5 точки и линии 4, 5 — результаты локальных измерений плотности по регистрации интенсивности тормозного рентгеновского излучения, полученные по методике, описанной в [12]. Видно, что поведение кривых качественно совпадает, но контрастность восстановленного изображения отличается от измеренного. Максимальное отклонение может достигать 57 %, что объясняется неудачным выбором

функции $q(z)$ и коэффициента α .

Приведенные результаты подтверждают предположение о возможности применения описанной методики для определения структуры потока и распределения плотности разреженного газа в пространстве и дают представление о ее характерных особенностях и моментах, требующих дополнительной проработки. Чтобы получить количественные результаты, необходимо учитывать в расчетах коэффициент ослабления пучка, точное значение тока i_c и рассеяние электронов на молекулах окружающего газа, предварительно подобрав оптимальную фильтрующую функцию по тест-объекту с известным распределением плотности.

ЛИТЕРАТУРА

1. Васильев Л. А. Теневые методы. М.: Наука, 1968.
2. Фомин Н. А. Применение техники спекла для диагностики газодинамических течений. Минск, 1987. (Препр. / АН БССР. Ин-т тепло- и массообмена; № 44).
3. Вест Ч. Голографическая интерферометрия. М.: Мир, 1982.
4. Роде Д. Е. Визуализация течения при помощи поперечного электронного пучка // Ракетная техника и космонавтика. 1965. № 10. С. 217–218.
5. Пикалов В. В., Преображенский Н. Г. Реконструктивная томография в газодинамике и физике плазмы. Новосибирск: Наука, 1987.
6. Седельников А. И., Чернов А. И. Томографическое определение поля плотности в сверхзвуковой струе за соплом с косым срезом // Изв. СО АН СССР. Сер. техн. наук. 1990. Вып. 4. С. 77–80.
7. Philippe L. C., Perrin M. Y., Cohat M. Beam deflection tomography: application to two interacting parallel free-jets // Rarefied Gas Dynamics: Proc. 17th Int. Symp., Aachen, Germany, July 8–14, 1990. Weinheim, 1991. P. 1538–1544.
8. Бусыгин Е. П., Тумакаев Г. К. Измерение плотности газа за ударной волной в ударной трубе с помощью электронно-пучкового метода // Журн. техн. физики. 1964. Т. 34, № 1. С. 122–127.
9. Lewitt R. M. Reconstruction algorithm: Transform methods // Proc. IEEE. 1983. V. 71. P. 390–408.
10. Brigham E. O., Morrow R. E. The fast Fourier transform // IEEE Spectrum. 1967. V. 4, N 12. P. 63–70.
11. Хермен Г. Восстановление изображений по проекциям. Основы реконструктивной томографии. М.: Мир, 1983.
12. Жаркова Н. Г., Кузнецов Л. И., Ребров А. К., Ярыгин В. Н. Измерение плотности разреженного газа и плазмы с помощью электронного пучка // Теплофизика высоких температур. 1976. Т. 14, № 1. С. 17–20.

*Поступила в редакцию 7/II 1995 г.,
в окончательном варианте — 24/III 1995 г.*